

基础物理学总结

《力学》与《电磁学》

庞丹阳

北京航空航天大学物理科学与核能工程学院

June 15, 2016

基础物理学内容：知识点

力学 约 60 个

电磁学 约 50 个

热学 约 30 个

光学 约 25 个

近代物理 约 30 个

共计约 200 个。

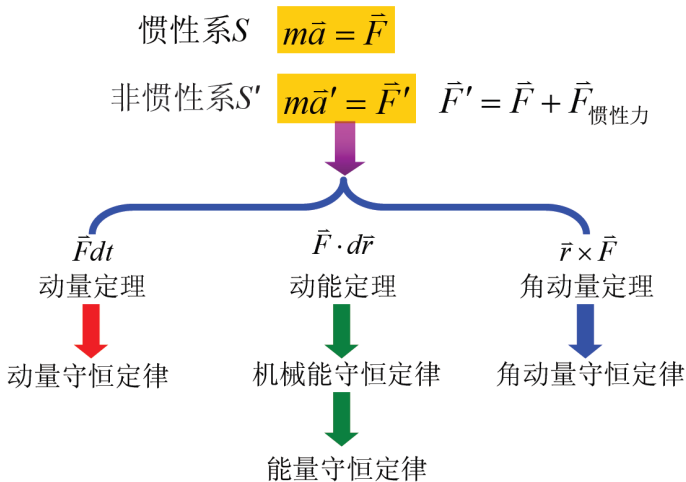
《力学》课程的内容

- 质点运动学
- 牛顿运动定律
- 功和能、冲量和动量
- 质点系（质心）运动定理
- 刚体的运动
- 机械振动和机械波
- 流体力学、分析力学

《电磁学》课程的内容

- 静电场、导体和电介质
- 稳恒磁场和磁介质
- 电磁感应
- 麦克斯韦电磁场理论（位移电流）

经典力学的理论体系



质点运动学

知识点：位置、速度、加速度、速率、切向加速度、法向加速度、曲率半径、牵连速度、牵连加速度、角速度

$$\mathbf{v} = \frac{d\mathbf{r}}{dt}$$

$$v = |\mathbf{v}| = \frac{|d\mathbf{r}|}{dt} = \frac{ds}{dt}$$

$$\mathbf{a} = \frac{d\mathbf{v}}{dt} = \frac{d^2\mathbf{r}}{dt^2}$$

$$\mathbf{a} = \mathbf{a}_\tau + \mathbf{a}_n$$

$$a_\tau = \frac{dv}{dt}, \quad a_n = \frac{v^2}{\rho}$$

$$\mathbf{v} = \frac{d\mathbf{r}}{dt} = \boldsymbol{\omega} \times \mathbf{r}$$

1-22 如图 1-16 所示, 两船 A 和 B 相距 R , 分别以速度 v_A 和 v_B 匀速直线行驶, 它们会不会相碰? 若不相碰, 求两船相靠最近的距离. 图中 α 和 β 为已知.

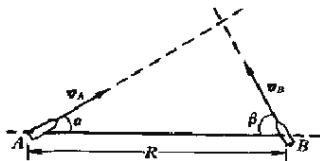


图 1-16

方法二: 如图 1-18, 在直角坐标系 Oxy 中, 两船 A 和 B 在任一时刻 t 的位置矢量分别为

$$\mathbf{r}_A = (v_A t \cos \alpha)\mathbf{i} + (v_A t \sin \alpha)\mathbf{j},$$

$$\mathbf{r}_B = (R - v_B t \cos \beta)\mathbf{i} + (v_B t \sin \beta)\mathbf{j}.$$

两位置矢量差为

$$\begin{aligned} \mathbf{r} &= \mathbf{r}_B - \mathbf{r}_A \\ &= [R - (v_B \cos \beta + v_A \cos \alpha)t]\mathbf{i} + [(v_B \sin \beta - v_A \sin \alpha)t]\mathbf{j}. \end{aligned}$$

任一时刻 t 两船间的距离为

牛顿三定律

知识点： 牛顿三定律、万有引力、重力、弹性力、摩擦力（静摩擦、滑动摩擦）、惯性力、惯性离心力、科里奥利力

$$\mathbf{F} = m\mathbf{a}$$

$$\mathbf{F}_i = -m\mathbf{a}_0 \quad (\text{惯性力})$$

$$\mathbf{f}_c = m\omega^2 \mathbf{R} \quad (\text{惯性离心力})$$

$$\mathbf{f}_C = 2m\mathbf{v} \times \boldsymbol{\omega} \quad (\text{科里奥利力})$$

2-10 质点在空气中无初速自由下落时,在速度不太大的情况下,阻力 F 的大小与速度大小成正比, F 的方向与速度的方向相反,即 $F = -kv$, k 为常数. 试求质点速度和加速度随时间的变化关系. 设质点质量为 m .

解 如图 2-9 所示,质点 m 下落过程中受重力 mg 和与速度方向相反的阻力 kv . 若以下落点为坐标原点 O , 竖直向下为 y 轴正方向, 则牛顿运动方程为

$$m \frac{dv}{dt} = mg - kv,$$

方程改写为

$$\frac{dv}{dt} + \frac{k}{m}v = g,$$



2-11 如图 2-11, 半径为 R 的光滑球面顶点处, 物体 m 自静止开始下滑, 求物体脱离球面的临界角, 即物体脱离球面处的半径与竖直方向的夹角。

解 如图 2-11, 若物体尚在球面上运动, 则受重力 mg 和球面支持力 N . 在自然坐标系中, 其牛顿方程为

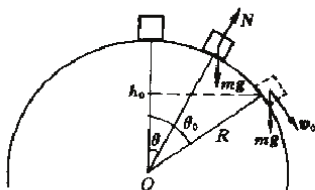


图 2-11

$$\text{法向: } mg \cos \theta - N = m \frac{v^2}{R}, \quad (1)$$

$$\text{切向: } mg \sin \theta = m \frac{dv}{dt}. \quad (2)$$

注意到

$$\frac{dv}{dt} = \frac{dv}{ds} \frac{ds}{dt},$$

式中

$$\frac{ds}{dt} = v, \quad ds = R d\theta.$$

代入到切向方程②中, 则有

$$gR \sin \theta d\theta = v dv. \quad (3)$$

动量变化定理、动量守恒

知识点：冲量、动量、质点（组）动量变化定理、动量守恒定律、变质量问题

$$d\mathbf{I} = \mathbf{F}dt$$

$$\mathbf{I} = \int d\mathbf{I} = \int_{t_1}^{t_2} \mathbf{F}dt$$

$$\mathbf{P} = m\mathbf{v} \text{ (质点)} = \sum m_i \mathbf{v}_i \text{ (质点组)}$$

$$\mathbf{p}_2 - \mathbf{p}_1 = \int_{t_1}^{t_2} \mathbf{F}dt \text{ (质点)}$$

$$\mathbf{p}_2 - \mathbf{p}_1 = \int_{t_1}^{t_2} (\sum \mathbf{F}_i)dt \text{ (质点组)}$$

3-6 质量为 M 的木块静止于光滑水平面上,一质量为 m ,速率为 v 的子弹水平射入木块后陷在木块内,并与木块一起运动(图 3-5). 求此过程中子弹施于木块的力的冲量及木块施于子弹的力的冲量.

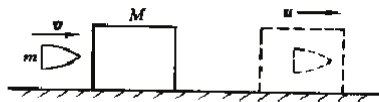


图 3-5

3-6 质量为 M 的木块静止于光滑水平面上,一质量为 m ,速率为 v 的子弹水平射入木块后陷在木块内,并与木块一起运动(图 3-5). 求此过程中子弹施于木块的力的冲量及木块施于子弹的力的冲量.

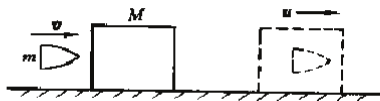


图 3-5

3-7 见图 3-6,质量为 m 的人站在质量为 M 的车上,开始时一起以速率 v_0 沿光滑水平面向右运动,现在人以相对于车为 u 的速率向左跑,试求车的速率.

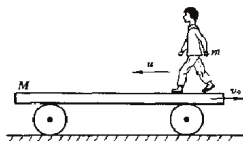


图 3-6

机械能变化定理、机械能守恒

知识点：功、质点（组）动能、质点动能变化定理、质点组动能变化定理（外力、内力）、非保守力、保守力、势能、机械能变化定理、机械能守恒

$$A = \int dA = \int_a^b \mathbf{F} \cdot d\mathbf{r}$$

$$p = \frac{dA}{dt} = \mathbf{F} \cdot \mathbf{v}$$

$$E_k = \frac{1}{2}mv^2 \quad (\text{质点}) = \sum \frac{1}{2}m_i v_i^2 \quad (\text{质点组})$$

$$E_k - E_{k0} = A_{\text{外}} + A_{\text{内}}$$

$$\oint \mathbf{F} \cdot d\mathbf{r} = 0 \quad (\text{保守力})$$

$$E = E_k + E_p$$

$$E - E_0 = A_{\text{外}} + A_{\text{内非保}}$$

4-10 如图 4-6, 质量为 M 的木块静止于光滑水平面上, 一质量为 m , 速率为 v 的子弹水平射入木块后嵌在木块内, 并与木块一起运动. 求: (1) 木块施于子弹的力所做的功; (2) 子弹施于木块的力所做的功; (3) 系统 (M 和 m) 耗散的机械能.

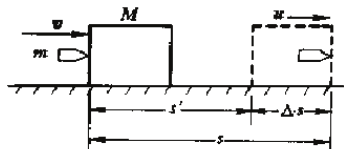


图 4-6

(2) 施外力 F 推动左壁板, 使两板间的距离从 x_0 变为 x ; 相应地, 小球的速度从 v_0 变为 v . 根据题目要求, 则要求证:

$$A = \int_{x_0}^x F(x) dx = \frac{1}{2}mv^2 - \frac{1}{2}mv_0^2.$$

左壁板缓慢推进, 可视为准静态过程, 外力 $F(x)$ 与板受到的小球的平均作用力 $\bar{F}(x)$ 等值而反向. 这样, 求外力做的功就转化为求平均作用力做的功, 即要求证:

$$A = \int_{x_0}^x \bar{F}(x) dx = \frac{1}{2}mv^2 - \frac{1}{2}mv_0^2.$$

与静态下 $\bar{F} = \frac{mv_0^2}{x_0}$ 类似, 动态下 $\bar{F}(x) = \frac{mv^2}{x}$, 它表明, 求 $\bar{F}(x)$ 又转化为求 $v(x)$.

如前所设, 壁板间距为 x 时, 小球的速度为 v . 分析小球与左壁板的碰撞过程时, 若以左壁板为参考系, 小球以大小为 $(v+u)$ 的相对速度入射, 以大小为 $(v+u)$ 的相对速度反弹; 若以地面为参考系, 小球则以大小为 v 的绝对速度入射, 以大小为 $(v+u)+u=v+2u$ 的绝对速度反弹. 因此, 小球绝对速度大小的增量为

$$\Delta v = (v + 2u) - v = 2u.$$

4-16 有一装置如图 4-12(a), 在劲度系数为 k 的弹簧下端挂一质量为 M 的盘, 一质量为 m 的物体由距盘底高 h 处自由落下, 与盘

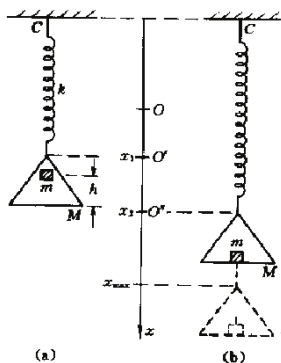


图 4-12

作完全非弹性碰撞. 求弹簧的最大伸长量.

解 本题包括三个物理过程: (1) 质点 m 作自由落体运动; (2) 质点 m 与盘 M 作完全非弹性碰撞; (3) 质点 m 和盘 M 一起到达最低点, 弹簧具有最大伸长量.

4-17 如图 4-13, 质量为 m_1 和 m_2 的两木块用劲度系数为 k 的弹簧相连, 静止地放在光滑水平面上. 一质量为 m , 速率为 v_0 的子弹水平射入木块 m_1 后嵌在 m_1 内. 试求: (1) 弹簧的最大压缩长度. (2) 木块 m_2 的最大速度和最小速度.



图 4-13

解 (1) 以子弹 m 和木块 m_1 为系统, 由于入射过程时间极其短暂, 弹簧未及压缩, 所以系统水平方向动量守恒. 设 v_{10} 为碰后即 m 嵌入 m_1 后两者的共同速度, 根据水平方向动量守恒定律, 则有

$$mv_0 = (m + m_1)v_{10}. \quad (1)$$

根据以上分析, 取 $(m + m_1)$ 、 m_2 和弹簧 k 为系统, 系统水平方向动量守恒, 机械能守恒. 设弹簧的最大压缩长度为 x , $(m + m_1)$ 和 m_2 的共同速度为 v , 则有

$$\begin{cases} (m + m_1)v_{10} = (m + m_1 + m_2)v, \\ \frac{1}{2}(m + m_1)v_{10}^2 = \frac{1}{2}(m + m_1 + m_2)v^2 + \frac{1}{2}kx^2. \end{cases} \quad (2)$$

根据以上分析,当弹簧为原长时,弹性势能为零.若设 $(m+m_1)$ 的速度为 v_1 , m_2 的速度为 v_2 ,则有

$$(m+m_1)v_{10} = (m+m_1)v_1 + m_2v_2, \quad (4)$$

$$\frac{1}{2}(m+m_1)v_{10}^2 = \frac{1}{2}(m+m_1)v_1^2 + \frac{1}{2}m_2v_2^2. \quad (5)$$

将方程④和⑤与①联立求解,可得

$$\begin{cases} v_1 = \frac{mv_0}{m+m_1}, & \text{最大速度;} \\ v_2 = 0, & \text{最小速度;} \end{cases}$$

$$\begin{cases} v_1 = \frac{m+m_1-m_2}{m+m_1+m_2} \cdot \frac{mv_0}{m+m_1}, & \text{最小速度,} \\ v_2 = \frac{2mv_0}{m+m_1+m_2}, & \text{最大速度.} \end{cases}$$

角动量变化定理、角动量守恒

知识点：角动量、力矩、角动量变化定理、质点（组）的角动量守恒、开普勒三定律

$$\mathbf{L} = \mathbf{r} \times m\mathbf{v}$$

$$\mathbf{M} = \mathbf{r} \times \mathbf{F}$$

$$\frac{d\mathbf{L}}{dt} = \mathbf{M}$$

$$\Delta\mathbf{L} = \int_{t_1}^{t_2} \mathbf{M} dt$$

$$\mathbf{L} = \sum \mathbf{r}_i \times m_i \mathbf{v}_i \quad (\text{质点组角动量})$$

$$\mathbf{M} = \sum \mathbf{r}_i \times \mathbf{F}_{i\text{外}} \quad (\text{合外力矩}) \quad (1)$$

5-9 图 5-5 中 O 为有心力场的力心, 排斥力与距离的二次方成反比: $f=k/r^2$, k 为常量.

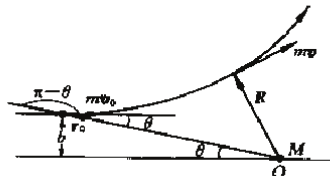


图 5-5

(1) 求此力场的势能;

(2) 一质量为 m 的粒子以速度 v_0 , 瞄准距离 b 从远处入射, 求它能达到的最近距离和此刻的速度.

解 (1) 斥力 $f=k/r^2$ 为保守力, 根据势能定义, 并规定无穷远为势能零点, 则力场的势能为

$$E_p(r) = \int_r^{\infty} \frac{k}{r^2} dr = -k \int_r^{\infty} d\left(\frac{1}{r}\right) = -k \left(\frac{1}{r}\right) \Big|_r^{\infty} = \frac{k}{r}.$$

$$L = Rmv,$$

故有

$$bmv_0 = Rmv, \quad (1)$$

斥力 $f = k/r^2$ 为保守力, 在保守力场中粒子的机械能守恒, 则有

$$\frac{1}{2}mv_0^2 = \frac{1}{2}mv^2 + \frac{k}{R}. \quad (2)$$

由方程①得 $v = \frac{b}{R}v_0$ 代入方程②, 即可得到

$$R^2 - \frac{2k}{mv_0^2}R - b^2 = 0.$$

解 R 的一元二次方程, 舍去负根后, 最后得到粒子达到的最近距离为

$$R = \frac{k}{mv_0^2} + \sqrt{\frac{k^2}{m^2v_0^4} + b^2},$$

此刻的速度为

$$v = \frac{b}{R}v_0.$$

质心力学定理

知识点：质点组（动量、动能、角动量）、质心、质心系、质心运动定理、科尼希定理、质心角动量变化定理

$$\mathbf{r}_C = \frac{\sum m_i \mathbf{r}_i}{M} = \frac{\int \mathbf{r} dm}{M}$$

$$m \frac{d\mathbf{v}_C}{dt} = m \mathbf{a}_C = \sum \mathbf{F}_i \quad (\text{质心运动定理})$$

$$\sum m_i \mathbf{v}_i \equiv 0 \quad (\text{质心系})$$

$$\mathbf{p}_C = m \mathbf{v}_C = \sum m_i \mathbf{v}_i = \mathbf{p} \quad (\text{质心动量})$$

$$E_k = E_C + E_{rC} = \frac{1}{2} m v_C^2 + \sum \frac{1}{2} m_i v_{iC}^2 \quad (\text{科尼希定理})$$

$$\mathbf{L} = \mathbf{L}_C + \mathbf{L}_{rC} = \mathbf{r}_C \times m \mathbf{v}_C + \sum (\mathbf{r}_{iC} \times m_i \mathbf{v}_{iC})$$

$$\frac{d\mathbf{L}_C}{dt} = \mathbf{M}_C = \mathbf{r}_C \times \sum \mathbf{F}_i \quad (\text{质心角动量变化定理})$$

$$\frac{d\mathbf{L}_{rC}}{dt} = \mathbf{M}_{rC} = \sum \mathbf{r}_{iC} \times \mathbf{F}_i \quad (\text{质心系角动量变化定理})$$

6-10 如图 6-6, 质量为 m_1 和 m_2 的两木块用劲度系数为 k 的弹簧相连, 静止地放在光滑水平面上. 一质量为 m , 速率为 v_0 的子弹水平射入木块 m_1 后嵌在 m_1 内. 试求: (1) 弹簧的最大压缩长度. (2) 木块 m_2 的最大速度和最小速度.



图 6-6

说明 本题曾在第四章4-17题解过, 目前将系统的运动分解为质心运动和系统在质心系中的运动, 使我们对运动的描述更为明了清晰. 具体来说, 质心在地面参考系中作惯性运动. 在质心系中, 就动量来说, 由于系统总动量恒为零, 所以质点 $(m+m_1)$ 与质点 m_2 的动量时刻等值而反号; 就机械能来说, 系统机械能守恒, 动能和弹性势能相互转化, 但总量不变. 当弹簧处于最大压缩或最大伸长时, 全部能量为弹性势能, 动能为零; 当弹簧处于原长时, 弹性势能为零, 全部能量为动能. 速度合成公式 $\mathbf{v} = \mathbf{v}' + \mathbf{v}_c$ 建立了两种运动的关系.

刚体力学

知识点：刚体、转动惯量（平行轴定理、垂直轴定理、量纲分析）、角速度、角加速度、刚体平面平行运动、纯滚动、定轴转动、转动动能

$$\boldsymbol{v} = \boldsymbol{\omega} \times \boldsymbol{r}, \quad v = R\omega \quad \text{角速度、线速度}$$

$$a_\tau = R\beta, \quad a_n = \frac{v^2}{R} = R\omega^2$$

$$I = \sum m_i r_i^2 = \int r^2 dm$$

$$I = I_C + md^2 \quad (\text{平行轴定理})$$







$$I_z = I_x + I_y \quad (\text{垂直轴定理})$$

$$M = I\beta \quad (\text{定轴转动定理})$$

$$E_k = \frac{1}{2} I \omega^2 \quad (\text{定轴转动动能})$$

$$\Delta E_k = \frac{1}{2} I \omega^2 - \frac{1}{2} I \omega_1^2 = \int_{\phi_1}^{\phi_2} M d\phi$$

表 7.1 常用的转动惯量

物 体	转轴位置	转动惯量	附 图
细棒 (质量 m , 长 l)	通过中点 与棒垂直	$\frac{1}{12}ml^2$	
	通过一端 与棒垂直	$\frac{1}{3}ml^2$	
薄壁中空圆筒 (或圆环) (质量 m , 半径 R)	通过中心轴	mR^2	
圆柱体 (或圆盘) (质量 m , 半径 R)	通过中心轴	$\frac{1}{2}mR^2$	
中空圆柱体 (质量 m , 内半径 R_1 , 外半径 R_2)	通过中心轴	$\frac{1}{2}m(R_1^2 + R_2^2)$	
球体 (质量 m , 半径 R)	通过球心	$\frac{2}{5}mR^2$	

7-6 求质量为 m , 内半径为 R_1 , 外半径为 R_2 的中空圆柱体对中心轴 OO' 的转动惯量. 见图 7-3.

解 由转动惯量定义可知, 转动惯量具有可加性, 柱体绕中心轴的转动惯量是

$$I = \frac{1}{2}(m + M)R_2^2 - \frac{1}{2}MR_1^2.$$

设圆柱体的体密度为 ρ , 高为 h , 则挖去部分的质量 M 及剩余部分的质量 m 分别为

$$M = \pi R_1^2 \rho h, \quad m = \pi(R_2^2 - R_1^2) \rho h,$$

利用这两个关系式, 即可求得

$$I = \frac{1}{2}m(R_1^2 + R_2^2).$$

说明 以上两题是巩固转动惯量概念, 并具体说明如何根据定义计算转动惯量. 第 7-6 题还提供了一种计算转动惯量的简便方法: 设想将挖去部分 M 填入而构成一实心柱体, 然后再将 M 挖去就是实际的中空柱体, 这样可直接应用实心柱体的结果, 简化运算.

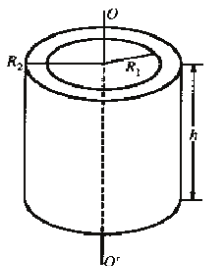


图 7-3

7-21 如图 7-19(a), 在光滑水平面上, 静止放置着质量为 M , 长为 l 的均匀细杆, 质量为 m 的小球以垂直于杆的水平速度 v_0 与杆的一端作完全非弹性碰撞, 试求碰后系统的运动.



图 7-19

解 方法一: 以细杆 M 和小球 m 为物体系, 系统水平方向不受力, 故水平方向动量守恒且等于质心动量, 即

$$mv_0 = (M + m)v_C.$$

由此得到

$$v_C = \frac{mv_0}{M + m}.$$

容易判断,在质心系中碰撞前后系统对质心 C 角动量守恒. 规定垂直纸面向外为正,碰撞前小球在质心系中的速度为

$$v' = v_0 - v_C = \frac{Mv_0}{M+m},$$

对质心 C 的角动量为

$$L_m = mv'l_m = \frac{M^2}{M+m} \cdot \frac{mv_0}{M+m} \cdot \frac{l}{2},$$

细杆在质心系中的速度为

$$V' = 0 - v_C = -\frac{mv_0}{M+m},$$

对质心 C 的角动量为

$$L_M = MV'l_M = \frac{Mm}{M+m} \cdot \frac{mv_0}{M+m} \cdot \frac{l}{2},$$

故碰撞前系统对质心 C 的总角动量为

$$L_{rc0} = mv'l_m + MV'l_M = \frac{M}{M+m} \cdot \frac{l}{2} mv_0.$$

碰撞后系统对质心 C 的总角动量为

$$L_{rc} = I_C \omega,$$

式中 ω 是碰后系统的角速度. 对过质心并垂直于纸面的轴的转动惯量 I_C , 可根据转动惯量定义和平行轴定理求得

$$I_C = ml_m^2 + \frac{1}{12}Ml^2 + Ml_M^2 = \frac{M(M+4m)l^2}{12(M+m)},$$

故有

$$L_{rc} = \frac{M(M+4m)l^2}{12(M+m)} \omega.$$

根据角动量守恒, $L_{rc0} = L_{rc}$, 则有

$$\frac{M}{M+m} \cdot \frac{l}{2} mv_0 = \frac{M(M+4m)l^2}{12(M+m)} \omega,$$

解得

$$\omega = \frac{6mv_0}{l(M+4m)}.$$

结果表明, 系统逆时针方向匀角速转动.

方法二：如图 7-20，取惯性参考系中与球杆相碰的杆端相重合的 A 为固定参考点，对 A 点系统角动量守恒。显然，碰撞前系统对 A

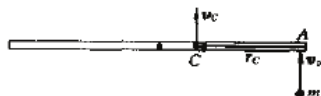


图 7-20

点的角动量为零，即 $L_{A0}=0$ 。碰撞后，系统对 A 点的角动量等于质心对 A 点的角动量与质心系中系统对质心 C 的角动量的矢量和。规定垂直纸面向外为正，则碰撞后系统的角动量为

$$\begin{aligned} L_A &= -r_C(M+m)v_C + I_C\omega \\ &= -\left(\frac{M}{M+m} \cdot \frac{l}{2}\right)(M+m)\frac{mv_0}{M+m} + \frac{M(M+4m)l^2}{12(M+m)}\omega \\ &= -\frac{M}{M+m} \cdot \frac{l}{2}mv_0 + \frac{M(M+4m)l^2}{12(M+m)}\omega, \end{aligned}$$

根据角动量守恒，则有

$$0 = -\frac{M}{M+m} \cdot \frac{l}{2}mv_0 + \frac{M(M+4m)l^2}{12(M+4m)}\omega,$$

解得

$$\omega = \frac{6mv_0}{l(M+4m)}.$$

振动

知识点：线性回复力、简谐振动（方程、振幅、周期、角频率、相位、初条件）、振动的合成、拍、阻尼振动、受迫振动（共振）

$$\frac{dx^2}{dt^2} = -\omega_0^2 x, \quad x(t) = A \cos(\omega_0 t + \phi_0)$$

$$A = \sqrt{x_0^2 + (v_0/\omega_0)^2}, \quad \phi_0 = \arctan\left(-\frac{v_0}{\omega_0 x_0}\right)$$

$$E = \frac{1}{2} m \omega_0^2 A^2 = \frac{1}{2} k A^2$$

$$A = \sqrt{A_1^2 + A_2^2 + 2A_1 A_2 \cos(\phi_{20} - \phi_{10})}$$

$$\phi_0 = \arctan \frac{A_1 \sin \phi_{10} + A_2 \sin \phi_{20}}{A_1 \cos \phi_{10} + A_2 \cos \phi_{20}}$$

$$x = A \cos \omega_1 t + A \cos \omega_2 t = 2A \cos \frac{|\omega_1 - \omega_2|t}{2} \cos \left(\frac{\omega_1 + \omega_2}{2} t \right)$$

$$x(t) = A e^{-\beta t} \cos(\omega t + \phi_0), \quad \omega = \sqrt{\omega_0^2 - \beta^2}, \quad \beta = \gamma/2m$$

$$x(t) = \frac{C}{\sqrt{(\omega_0^2 - \omega^2)^2 + 4\beta^2 \omega^2}} \cos(\omega t + \phi_0)$$

8-12 有一装置如图 8-10 所示,在劲度系数为 k 的弹簧下端挂一质量为 M 的盘,一质量为 m 的物体由距盘底高 h 处自由落下,与盘作完全非弹性碰撞.设两物体碰撞后瞬间为 $t=0$ 时刻,试确定振动系统的运动学方程.

解 简谐振动的运动学方程为

$$x = A \cos(\omega_0 t + \varphi_0).$$

所谓确定运动学方程就是确定方程中的特征量 A, ω_0, φ_0 .

物体 m 与盘 M 作完全非弹性碰撞,碰后 m 与 M 联为一体,对于由 M, m 和弹簧组的振动系统,其角频率为

$$\omega_0 = \sqrt{\frac{k}{M+m}}.$$

规定竖直向下为坐标 x 的正方向,碰后系统的平衡位置为坐标原点 O' . 设碰撞的短暂过程中弹簧未及伸长,即碰后两物体的位置为 O ,这就是初位置. 从受力分析可求得初位移为

$$x_0 = -\frac{mg}{k}.$$

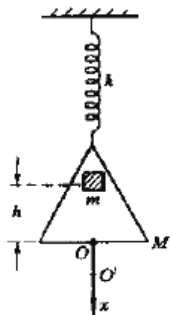


图 8-10

以 m 和地球为系统,该系统满足机械能守恒的条件,取盘底为重力势能零点,根据机械能守恒定律,有

$$mgh = \frac{1}{2}mv^2.$$

式中的 v 为 m 与 M 碰前的速度.

M 和 m 系统在碰撞过程中动量守恒,设碰后 M 和 m 的共同速度为 v_0 ,则

$$mv = (M + m)v_0,$$

解方程得到振动系统的初速度为

$$v_0 = \frac{m}{M + m} \sqrt{2gh}.$$

根据振幅与初相位的计算公式,振幅为

$$A = \sqrt{x_0^2 + \left(\frac{v_0}{\omega_0}\right)^2} = \frac{mg}{k} \sqrt{1 + \frac{2kh}{(M + m)g}}.$$

初相位为

$$\varphi_0 = \arctan\left(-\frac{v_0}{\omega_0 x_0}\right) = \arctan\sqrt{\frac{2kh}{(M + m)g}}.$$

初相位 φ_0 可能在第一象限,也可能在第三象限,根据 $t=0$ 时刻 $x_0 < 0$ 而 $v_0 > 0$,则可确定是第三象限角.

波动

知识点： 简谐波（波函数，方程）、波长、波数、波速、波的能量密度、波的叠加、驻波、半波损失、多普勒效应

$$u(x, t) = A \cos(\omega t - kx + \phi_0)$$

$$v = \frac{\lambda}{T} = \frac{\omega}{k}, \quad k = \frac{2\pi}{\lambda}$$

$$\frac{\partial^2 u}{\partial x^2} = \frac{1}{v^2} \frac{\partial^2 u}{\partial t^2}$$

$$\omega(x, t) = \rho \omega^2 A^2 \sin^2(\omega t - kx), \quad \bar{\omega} = \frac{1}{T} \int_0^T \omega(x, t) dt = \frac{1}{2} \rho \omega^2 A^2$$

$$u(x, t) = A_0 \cos(\omega t - kx) + A_0 \cos(\omega t + kx) = 2A_0 \cos(\omega t) \cos(kx) \quad (\text{驻波})$$

$$f' = \frac{v - u' \cos \beta}{v - u \cos \alpha} f, \quad (\text{多普勒效应})$$

9-10 图 9-3 中 $x=0$ 处有一振动方程为 $u=A\cos\frac{2\pi}{T}t$ 的平面波波源,产生的波沿 x 轴正、负方向传播, MN 为波密介质的反射面,距波源 $\frac{3}{4}\lambda$, λ 为波长.试求合成波,并作出 $t=\frac{3}{4}T$ 时的波形图.

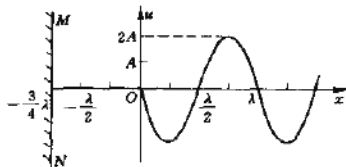


图 9-3

解 在波源与反射面区域,即 $O-MN$ 区域,由波源 O 发出的沿 x 轴负方向传播的波 u_1 为

$$u_1(x, t) = A \cos\left(\frac{2\pi}{T}t + \frac{2\pi}{\lambda}x\right),$$

这一入射波在反射面 $x = -\frac{3}{4}\lambda$ 处引起的振动为

$$\begin{aligned} u_1\left(-\frac{3\lambda}{4}, t\right) &= A \cos\left[\frac{2\pi}{T}t + \frac{2\pi}{\lambda}\left(-\frac{3}{4}\lambda\right)\right] \\ &= A \cos\left(\frac{2\pi}{T}t - \frac{3\pi}{2}\right). \end{aligned}$$

由于反射面为波密介质, 反射波存在 π 的相位突变, 则反射波为

$$\begin{aligned} u_2(x, t) &= A \cos\left[\left(\frac{2\pi}{T}t - \frac{3\pi}{2}\right) - \frac{2\pi}{\lambda}\left(x + \frac{3}{4}\lambda\right) + \pi\right] \\ &= A \cos\left(\frac{2\pi}{T}t - \frac{2\pi}{\lambda}x\right), \end{aligned}$$

合成波为入射波与反射波的叠加, 因而

$$\begin{aligned} u(x, t) &= u_1(x, t) + u_2(x, t) \\ &= A \cos\left(\frac{2\pi}{T}t + \frac{2\pi}{\lambda}x\right) + A \cos\left(\frac{2\pi}{T}t - \frac{2\pi}{\lambda}x\right) \\ &= 2A \cos \frac{2\pi}{\lambda}x \cos \frac{2\pi}{T}t. \end{aligned}$$

9-11 飞机在空中以速度 $u = 200 \text{ m/s}$ 作水平飞行, 发出频率 $f_0 = 2000 \text{ Hz}$ 的声波. 当飞机飞越静止在地面的观测者时, 在 $t = 4 \text{ s}$ 内观测者测得的声波频率从 $f_1 = 2400 \text{ Hz}$ 降为 $f_2 = 1600 \text{ Hz}$. 已知声速 $v = 330 \text{ m/s}$. 试求飞机飞行的高度.

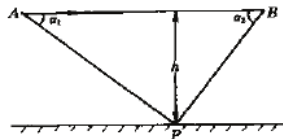


图 9-4

解 如图 9-4, 设飞机在观测时间内从位置 A 飞到位置 B . 普遍的多普勒效应公式为

$$f' = \frac{v - u' \cos \beta}{v - u \cos \alpha} f.$$

观测者 P 静止, $u' = 0$. 测得从 A 点发出的声波频率为 f_1 , 此时飞机趋向观测者飞行, u 取正值, 故有

$$f_1 = \frac{v}{v - u \cos \alpha_1} f_0,$$

$$\cos \alpha_1 = \frac{v(f_1 - f_0)}{u f_1} = 0.275,$$

测得从 B 点发出的声波频率为 f_2 , 此时飞机远离观测者飞行, u 取负值, 故有

$$f_2 = \frac{v}{v + u \cos \alpha_2} f_0,$$

$$\cos \alpha_2 = \frac{v(f_0 - f_2)}{u f_2} = 0.4125.$$

由图 9-4 所示几何关系

$$\overline{AB} = ut = h(\cot \alpha_1 + \cot \alpha_2),$$

可得飞行高度 h 为

$$h = \frac{ut}{\cot \alpha_1 + \cot \alpha_2} = \frac{ut}{\frac{\cos \alpha_1}{\sqrt{1 - \cos^2 \alpha_1}} + \frac{\cos \alpha_2}{\sqrt{1 - \cos^2 \alpha_2}}}$$

$$= 1.08 \times 10^3 \text{ m}.$$

说明 普遍的多普勒频移公式的运用, 是在纵向多普勒频移公式基础上提出的进一步的教学要求. 应用统一表达的多普勒频移公式求解具体问题时, 一定要处理好波源速度 u (以及接收器速度 u') 的正负号. 无疑, 它是由波源的运动情况决定的: 波源趋近接收器时, 有效波长 λ' 变小, 而声速 $v = \sqrt{\frac{\gamma RT}{\mu}}$ 是由空气性质和热力学状态决定的, 是不变的, 与波源运动与否无关, 所以接收器接收到的频率 f' 增大, u 取正值; 同理, 波源远离接收器, λ' 变大, f' 变小, u 取负值.

流体

知识点： 定常流动、连续性方程、伯努力方程、泊肃叶公式、斯托克斯公式、雷诺数

- 粘度系数： $f = \eta \frac{dv}{dz} \Delta S$
- 连续性方程： $v_1 ds_1 = v_2 ds_2$
- 伯努力方程： $p + \frac{1}{2} \rho v^2 + \rho gh = \text{Constant}$
- 泊肃叶公式： $v(r) = (R^2 - r^2)(p_1 - p_2)/4\eta\ell$
- 斯托克斯公式：半径为 r 的小球缓慢运动时所受阻力：
 $f = 6\pi\eta r v$
- 雷诺数： $Re = \frac{\rho v \ell}{\eta}$

静电场

知识点： 库仑定律、电场强度、叠加原理、高斯定理、环路定理、电势

$$\mathbf{F} = \frac{1}{4\pi\epsilon_0} \frac{q_1 q_2}{r^2} \hat{\mathbf{r}}$$

$$\mathbf{E} = \frac{\mathbf{F}}{q_0}$$

$$\oint \mathbf{E} \cdot d\mathbf{s} = \frac{1}{\epsilon_0} \sum q$$

$$\oint \mathbf{E} \cdot d\boldsymbol{\ell} = 0$$

$$U_p - U_Q = \int_P^Q \mathbf{E} \cdot d\boldsymbol{\ell}$$

$$\mathbf{E} = -\nabla U$$

1-15 实验发现在地球大气层的一个广大区域中存在着电场,其方向是竖直向下的. 在 $2.0 \times 10^2 \text{ m}$ 高度, 场强为 $1.0 \times 10^2 \text{ V/m}$, 而在 $3.0 \times 10^2 \text{ m}$ 高度, 场强为 $0.60 \times 10^2 \text{ V/m}$. 试求从离地 $200 \sim 300 \text{ m}$ 之间大气中电荷的平均体密度 $\bar{\rho}$.

解 方法一: 设 200 m 处场强为 E_a , 300 m 处场强为 E_b , 那么, ab 之间的高度差 $h = 100 \text{ m}$. 对于这两个高度来说, 地面可看作平

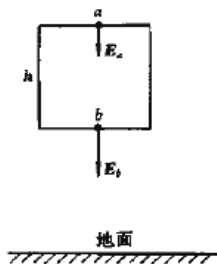


图 1-8

面, 因而可作如图 1-8 的圆柱状高斯面, 且只计算两底面 S 上的电通量, 将侧面的通量忽略. 根据高斯定理, 有

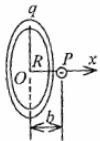
$$E_a S - E_b S = \frac{1}{\epsilon_0} \bar{\rho} S h,$$

因为 $E_a = 100 \text{ V/m}$, $E_b = 60 \text{ V/m}$, 且真空介电常数 $\epsilon_0 = 8.85 \times 10^{-12} \text{ F/m}$, $h = 100 \text{ m}$, 所以

$$\bar{\rho} = \frac{\epsilon_0 (E_a - E_b)}{h} = 3.5 \times 10^{-11} \text{ C/m}^3.$$

3. 半径为 R 的均匀带电细圆环，带电荷 q ($q > 0$)，在圆环轴线 Ox 上的 P 点处有一质量为 m ，电荷为 $-e$ 的电子，如图所示。环心 O 与 P 点距离 $OP = b$ ，且 $b \ll R$ ，电子由静止开始运动。

- (1) 试说明电子作什么运动；
- (2) 写出电子运动的表达式；
- (3) 求电子由 P 点运动到 O 点所需的时间。



导体和电介质

知识点： 导体静电平衡条件、电容、电介质、极化强度矢量、极化电荷、电极化率、电位移矢量、高斯定理、环路定理、介电常数、边界条件、静电场能量密度

$$C = Q/U$$

$$\sigma' = \mathbf{P} \cdot \mathbf{n} = P_n = P \cos \theta$$

$$\oint \mathbf{P} \cdot d\mathbf{S} = -\sum q'$$

$$\mathbf{E} = \mathbf{E}_0 + \mathbf{E}'$$

$$\mathbf{P} = \chi_e \varepsilon_0 \mathbf{E}$$

$$\mathbf{D} = \varepsilon_0 \mathbf{E} + \mathbf{P} = \varepsilon_0 \varepsilon_r \mathbf{E} = \varepsilon \mathbf{E}$$

$$\oint \mathbf{D} \cdot d\mathbf{S} = \sum q_0, \quad \oint \mathbf{E} \cdot d\boldsymbol{\ell} = 0$$

$$w_e = \frac{1}{2} \mathbf{D} \cdot \mathbf{E}$$

2-17 在半径为 R_1 的金属球之外有一层半径为 R_2 的均匀介质层(图 2-10), 设介质的相对介电常数为 ϵ_r , 金属球带电量为 Q_0 , 求:

- (1) 介质层内外的 D, E, P 分布;
- (2) 介质层内外表面极化电荷面密度.

解 (1) 由于球对称性, Q_0 在导体表面均匀分布, 相应地介质表面的极化电荷分布也是均匀的, 因此可以用 D 的高斯定理先求 D 的分布.

在介质内作一半径为 r 的球形高斯面, 可得

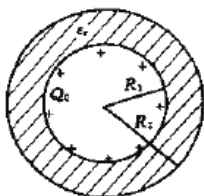


图 2-10

即

$$\oint_{(S)} \vec{D}_1 \cdot d\vec{S} = Q_0,$$

$$4\pi r^2 D_1 = Q_0,$$

所以
$$D_1 = \frac{Q_0}{4\pi r^2} \quad (R_1 < r < R_2).$$

同样在介质外应用高斯定理, 可得

$$D_2 = \frac{Q_0}{4\pi r^2} \quad (r > R_2).$$

可见 $D_1 = D_2$, D 的方向沿径矢.

根据关系式 $D = \epsilon_0 \epsilon_r E$ 可求得

$$E_1 = \frac{Q_0}{4\pi\epsilon_0\epsilon_r r^2} \quad (R_1 < r < R_2),$$

$$E_2 = \frac{Q_0}{4\pi\epsilon_0 r^2} \quad (r > R_2),$$

再根据关系式 $P = (\epsilon_r - 1)\epsilon_0 E$, 可求得

$$P_1 = \left(1 - \frac{1}{\epsilon_r}\right) \frac{Q_0}{4\pi r^2} \quad (R_1 < r < R_2),$$

$$P_2 = 0 \quad (r > R_2).$$

(2) 根据关系式 $\sigma' = P \cdot n$, 可求得介质内外表面极化面电荷的分布为

$$\begin{aligned} \sigma'_1 &= P_1(R_1) \cdot n \\ &= -\left(1 - \frac{1}{\epsilon_r}\right) \frac{Q_0}{4\pi R_1^2} = \left(\frac{1}{\epsilon_r} - 1\right) \frac{Q_0}{4\pi R_1^2}, \end{aligned}$$

$$\sigma'_2 = P_1(R_2) \cdot n = \left(1 - \frac{1}{\epsilon_r}\right) \frac{Q_0}{4\pi R_2^2},$$

其中 $\sigma'_1 < 0$, $\sigma'_2 > 0$.

D 线和 E 线分布如图 2-11 所示.

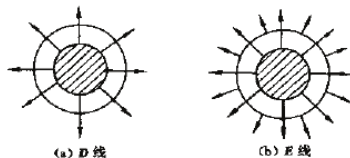


图 2-11

恒定磁场

知识点： 磁感应强度、毕奥 - 萨伐尔定律、高斯定理、环路定理、安培定律、磁矩、洛伦兹力

$$d\mathbf{B} = \frac{\mu_0}{4\pi} \frac{Id\boldsymbol{\ell} \times \hat{\mathbf{r}}}{r^2}$$

$$\mathbf{B} = \frac{\mu_0}{4\pi} \oint \frac{Id\boldsymbol{\ell} \times \hat{\mathbf{r}}}{r^2}$$

$$\oint \mathbf{B} \cdot d\mathbf{S} = 0$$

$$\oint \mathbf{B} \cdot d\boldsymbol{\ell} = \mu_0 \sum I$$

$$d\mathbf{F} = Id\boldsymbol{\ell} \times \mathbf{B}$$

$$\mathbf{p}_m = IS\mathbf{n}$$

$$\mathbf{M} = \mathbf{p}_m \times \mathbf{B}$$

$$\mathbf{F} = q\mathbf{v} \times \mathbf{B} \quad (2)$$

磁介质

知识点： 分子磁矩、磁化电流、顺磁质、抗磁质、磁化强度矢量、磁场强度、磁化率、相对磁导率、磁导率、高斯定理、环路定理、边界条件

$$\begin{aligned}
 \mathbf{M} &= n\mathbf{p}_m, \quad \mathbf{i}' = \mathbf{M} \times \mathbf{n} \\
 \oint \mathbf{M} \cdot d\boldsymbol{\ell} &= \sum I' \\
 \mathbf{M} &= \chi_m \mathbf{H} \\
 \mathbf{H} &= \mathbf{B}/\mu_0 - \mathbf{M} = \mathbf{B}/\mu_0\mu_r = \mathbf{B}/\mu \\
 \oint \mathbf{H} \cdot d\boldsymbol{\ell} &= \sum I_0 \\
 \oint \mathbf{H} \cdot d\mathbf{S} &= 0
 \end{aligned}$$

5-7 一无穷长圆柱形直导线,外面包有一层相对磁导率为 μ_r 的圆筒形磁介质.导线的半径为 R_1 ,磁介质的外半径为 R_2 ,如图 5-2 所示.当导线内有电流 I 通过时,求介质内、外的磁场强度和磁感应强度分布.

解 由于电流分布有轴对称性,因而磁场分布也有轴对称性,这就可以用安培环路定理 $\oint \mathbf{H} \cdot d\mathbf{l} = \sum I_0$ 求解.

当 $r < R_1$ 时,根据安培环路定理,

$$2\pi r H_1 = \frac{I}{\pi R_1^2} \cdot \pi r^2,$$

所以
$$H_1 = \frac{I}{2\pi R_1^2} r.$$

当 $R_1 < r < R_2$ 时,

$$2\pi r H_2 = I,$$

所以
$$H_2 = \frac{I}{2\pi r}.$$

当 $r > R_2$ 时同样得

$$H_3 = \frac{I}{2\pi r}.$$

再根据关系式 $B = \mu_0 \mu_r H$, 可求得各区域的磁感应强度分布为

$$r < R_1, \quad B_1 = \frac{\mu_0 I}{2\pi R_1^2} r;$$

$$R_1 < r < R_2, \quad B_2 = \frac{\mu_0 \mu_r I}{2\pi r};$$

$$r > R_2, \quad B_3 = \frac{\mu_0 I}{2\pi r}.$$

注意,在磁介质外, $\mu_r = 1$. \mathbf{B} 和 \mathbf{H} 的方向均与电流方向成右手螺旋.



图 5-2

电磁感应

知识点： 磁通量、法拉第定律、楞次定律、电动势（感生、感应、动生）、涡旋电场、自感系数、互感系数、磁能、磁能密度

$$\varepsilon = -\frac{d\Phi}{dt}$$

$$\varepsilon = \int (\mathbf{v} \times \mathbf{B}) \cdot d\boldsymbol{\ell}$$

$$\varepsilon = \int \mathbf{E}_{\text{旋}} \cdot d\boldsymbol{\ell}$$

$$\oint \mathbf{E} \cdot d\boldsymbol{\ell} = -\oint \frac{\partial \mathbf{B}}{\partial t} \cdot \mathbf{B}$$

$$L = \Psi/I, \quad M = \Psi_{12}/I_1 = \Psi_{21}/I_2$$

$$\varepsilon = -L \frac{dI}{dt}$$

$$\varepsilon_1 = -M \frac{dI_2}{dt}, \quad \varepsilon_2 = -M \frac{dI_1}{dt}$$

$$W_{\text{自}} = \frac{1}{2} LI^2$$

$$w_m = \frac{1}{2} \mathbf{B} \cdot \mathbf{H} = \frac{1}{2} \mu_0 \mu_r H^2$$

6-7 如图 6-4 所示,长度为 L 的金属棒在均匀磁场 B 中沿逆时针方向绕 O 轴匀速转动,角速度为 ω ,求:

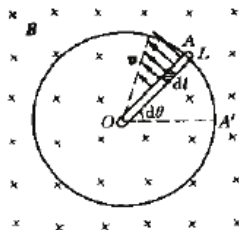


图 6-4

(1) 棒中感应电动势的大小和方向;

(2) AO 两点的电势差 U_{AO} .

解 方法一: (1) 用动生电动势公式求解. 金属棒旋转时切割磁感应线, 所以棒内有动生电动势产生. 由于 $\boldsymbol{v} = \boldsymbol{\omega} \times \boldsymbol{r}$, 可知棒上各点速度大小不同, 但方向一致 (见图 6-4). 由 $\boldsymbol{v} \times \boldsymbol{B}$ 可以确定 AO 段上洛伦兹力 (非静电力) 是从 A 指向 O 的,

所以电动势的方向也是从 A 到 O 的. 取线元 $d\boldsymbol{l}$ 的方向也沿 A 到 O (即与 $\boldsymbol{v} \times \boldsymbol{B}$ 同方向), 则这一小段上的电动势为

$$d\mathcal{E} = (\boldsymbol{v} \times \boldsymbol{B}) \cdot d\boldsymbol{l} = vBdl.$$

因 \boldsymbol{r} 是从 O 到各线元的径矢, 与 $d\boldsymbol{l}$ 方向相反, 所以 $d\boldsymbol{l} = -d\boldsymbol{r}$,

$$d\mathcal{E} = -Bvdr.$$

整个棒上的感应电动势是上式从 A 到 O 的积分,

$$\mathcal{E} = \int d\mathcal{E} = \int_A^O (-Bvdr) = - \int_L^0 B\omega r dr = \frac{1}{2} B\omega L^2.$$

6-8 如图 6-5, 有一长直导线载有 I_0 的电流, 旁边有一与它共面的方线圈 $ABCD$, 方线圈边长为 $2a$, 其几何中心到长直导线的垂直距离为 b , 若它正以速度 v 离开直导线, 求线圈中感应电动势的大小和方向.

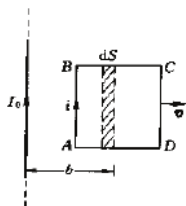


图 6-5

解 方法一: 应用法拉第定律求解.

先判断感应电动势的方向. 长直导线在方线圈所在区域激发一个垂直于纸面向里的非均匀场, 磁感应强度的大小为

$$B = \frac{\mu_0 I_0}{2\pi x},$$

式中 x 为场点到直导线的距离. 方线圈远离长直导线运动, 回路中的磁通量减少. 根据楞次定律, 感应电流 i 的磁通量应补偿回路中磁通量的减少, 所以感应电流的方向如图所示, 感应电动势的方向是从 $A \rightarrow B \rightarrow C \rightarrow D$.

下面求感应电动势的大小. 设在任意时刻 t , 线圈中心线离长直导线的距离为 x , 则 AB 和 CD 两边离直导线的距离分别为 $(x-a)$ 及 $(x+a)$. 线圈内的磁通量为

$$\Phi = \iint_{(S)} \mathbf{B} \cdot d\mathbf{S},$$

方法二：用动生电动势公式求解。

因 AB 和 CD 两边切割磁感应线，所以只有这两边内有动生电动势产生，

$$\begin{aligned}\mathcal{E} &= \int_A^B (\mathbf{v} \times \mathbf{B}) \cdot d\mathbf{l} + \int_C^D (\mathbf{v} \times \mathbf{B}) \cdot d\mathbf{l} \\ &= \frac{\mu_0}{\pi} I_0 a v \left(\frac{1}{b-a} - \frac{1}{b+a} \right).\end{aligned}$$

电动势的方向可根据 $(\mathbf{v} \times \mathbf{B})$ 即洛伦兹力的方向判断。在 AB 和 CD 两边中， $(\mathbf{v} \times \mathbf{B})$ 的方向相同。但由于 AB 边处的磁场大于 CD 边处的磁场，所以 AB 边中的电动势大于 CD 边中的电动势，总的电动势就是沿 AB 方向的，与方法一的结论相同。

说明 本题重点是说明，在用法拉第定律求导体回路在非均匀磁场中运动时的电动势时，关键是正确计算导体回路中的磁通量。本

麦克斯韦电磁场理论

知识点： 位移电流、传导电流、麦克斯韦方程组（微分、积分）、介质方程、电磁波

$$\begin{aligned}
 j_D &= \frac{\partial \mathbf{D}}{\partial t}, \quad I_D = \iint \frac{\partial \mathbf{D}}{\partial t} \cdot d\mathbf{S} \\
 \oint \mathbf{H} \cdot d\boldsymbol{\ell} &= I_0 + \iint \frac{\partial \mathbf{D}}{\partial t} \cdot d\mathbf{S} \\
 \oint \mathbf{D} \cdot d\mathbf{S} &= q_0, \quad \Rightarrow \nabla \cdot \mathbf{D} = \rho_0 \\
 \oint \mathbf{E} \cdot d\boldsymbol{\ell} &= - \iint \frac{\partial \mathbf{B}}{\partial t} \cdot d\mathbf{S}, \quad \Rightarrow \nabla \times \mathbf{E} = - \frac{\partial \mathbf{B}}{\partial t} \\
 \oint \mathbf{B} \cdot d\mathbf{S} &= 0, \quad \Rightarrow \nabla \cdot \mathbf{B} = 0 \\
 \oint \mathbf{H} \cdot d\boldsymbol{\ell} &= I_0 + \iint \frac{\partial \mathbf{D}}{\partial t} \cdot d\mathbf{S}, \quad \Rightarrow \nabla \times \mathbf{H} = \mathbf{j}_0 + \frac{\partial \mathbf{D}}{\partial t} \\
 \mathbf{D} &= \varepsilon_0 \varepsilon_r \mathbf{E}, \quad \mathbf{B} = \mu_0 \mu_r \mathbf{H}, \quad \mathbf{j}_0 = \sigma \mathbf{E}
 \end{aligned}$$

$$D = \sigma_0 \sin \omega t,$$

于是位移电流密度为

$$j_D = \frac{\partial D}{\partial t} = \sigma_0 \omega \cos \omega t,$$

D 和 j_D 的分布都是均匀的.

因为 I_0 及 j_D 的分布都有轴对称性, 所以磁场强度的分布也有轴对称性. 这就可以从推广后的安培环路定理求 a, b 两点的磁场.

过 a 点作一半径为 r 的圆形环路包围导线, 因电容器外 $I_D=0$, 所以

$$\oint \mathbf{H} \cdot d\mathbf{l} = I_0,$$

即

$$\begin{aligned} H_a &= \frac{I_0}{2\pi r} = \frac{1}{2\pi r} \cdot \pi R^2 \sigma_0 \omega \cos \omega t \\ &= \frac{R^2}{2r} \sigma_0 \omega \cos \omega t. \end{aligned}$$

过 b 点作一同样的环路, 因电容器内 $I_0=0$, 所以

$$H_b = \frac{1}{2\pi r} \cdot j_D \cdot \pi r^2 = \frac{r}{2} \sigma_0 \omega \cos \omega t.$$